

تعیین طول دوره بدون یخنдан با استفاده از تاریخ‌های آغاز و خاتمه یخندان فرارفتی و تابشی در نواحی زنجان، قزوین و تهران

کیوان نوحی^{*}، فاطمه صحرائیان، مژده پدرام و عبدالصمد صداقت کردار^۱

(تاریخ دریافت: ۱۳۸۵/۱۲/۱۶؛ تاریخ پذیرش: ۱۳۸۶/۱۲/۵)

چکیده

تاریخ‌های آغاز و خاتمه یخندان بر مبنای دمای کمینه دیدبانی شده در پناهگاه هواشناسی (دماهای کمینه کمتر یا مساوی صفر درجه سلسیوس) برای ۳ ایستگاه همدید (سینوپتیک) زنجان، قزوین و تهران در دوره مشترک ۳۹ ساله تعیین و یخندان‌های فرارفتی با بررسی مقادیر فراسنجهای جوی در ساعت دیدبانی و با کمک نقشه‌های همدیدی از یخندان‌های تابشی تفکیک شده‌اند. هم‌چنین نشان داده شده است که سری‌های زمانی تاریخ آغاز و خاتمه یخندان‌های فرارفتی تصادفی است و از تابع توزیع نرمال پیروی می‌کنند. طول فصل رشد بالقوه نیز که به صورت مدت زمانی بین آخرین یخندان فرارفتی بهاره و اولین یخندان فرارفتی پاییزه تعریف می‌شود، محاسبه و نشان داده شده است که در مقایسه با فصل رشدی که با محاسبه فاصله زمانی از آخرین رخداد دمای صفر درجه سلسیوس یا کمتر در بهار تا اولین رخداد دمای صفر یا کمتر در پاییز تعیین می‌شود، در زنجان ۲۹ روز، در قزوین ۲۳ روز و در تهران ۱۰ روز طولانی‌تر است. تعداد یخندان‌های تابشی در فاصله بین اولین یخندان تابشی در پاییز یا آخرین یخندان تابشی در بهار و یخندان فرارفتی مربوطه مورد شمارش قرار گرفته و نشان داده شده که این فراسنجه در ناحیه زنجان بزرگ‌تر از قزوین و تهران است. تعداد روزهای بین دو یخندان اول در پاییز و دو یخندان آخر در بهار نیز ارائه و نشان داده شده است که امکان طولانی‌تر کردن فصل رشد بهاره در صورت یک شب محافظت از یخندان، در صورتی که اولین یخندان در پاییز و آخرین یخندان در بهار از نوع تابشی باشند، در زنجان و تهران ۴ روز و در قزوین ۶ روز است. به این ترتیب، برآورد قابلیت اجرای عملیات محافظت از یخندان برای محصولات کشاورزی در مناطق مورد مطالعه، امکان پذیر می‌شود.

واژه‌های کلیدی: تاریخ آغاز یخندان، تاریخ خاتمه یخندان، یخندان فرارفتی، یخندان تابشی، دوره بدون یخندان

مقدمه

در استان‌های مورد مطالعه در برخی از سال‌ها قابل توجه و چشمگیر می‌باشد به طوری که در استان تهران از سال زراعی ۱۳۶۸-۶۹ تا سال زراعی ۱۳۸۰-۸۱ از کل اراضی بیمه شده محصول گندم ۳۷۲۱ هکتار در اثر سرما و یخندان خسارت دیده و مبلغ ۳۵۲/۲۴۷/۹۱۰ ریال غرامت از سوی این صندوق پرداخت شده است. در استان زنجان از سال ۱۳۷۰-۷۱ تا سال یکی از مهم‌ترین عوامل خسارت‌زا در تولیدات کشاورزی، پدیده سرما و یخندان است. به سبب آسیب‌های ناشی از پدیده یخندان پتانسیل تولید بسیاری از محصولات کشاورزی و باعی در مناطق آسیب‌پذیر کشور کاهش می‌یابد. به گزارش صندوق بیمه محصولات کشاورزی خسارات ناشی از سرما و یخندان

۱. اعضای هیئت علمی پژوهشکده هواشناسی، تهران

*: مسئول مکاتبات، پست الکترونیکی: knoohi@yahoo.com

کالم (۶) یخبدان را در دو گروه تعریف کرده است، "فرارفتی" و "تابشی". یخبدان‌های فرارفتی به هجوم بزرگ مقیاس هوای سرد با اتمسفر بادی و دمایی که حتی در طی روز غالباً زیر صفر است، مربوط می‌شود. یخبدان‌های تابشی به سرد شدن، به دلیل از دست دادن انرژی از طریق تبادل تابشی در طی شب‌های صاف، آرام و با وارونگی دمایی، مربوط می‌شود. در برخی از موارد ترکیبی از هردو شرایط فرارفتی و تابشی رخ می‌دهد.

یک مشخصه آشکار از دمای هوا در شب‌های با یخبدان تابشی این است که اکثراً افت دما در چند ساعتی در حوالی غروب خورشید رخ می‌دهد یعنی زمانی که تابش خالص بر روی سطح سریعاً از مثبت به منفی کاهش می‌یابد. این تغییر سریع در تابش خالص به این دلیل است که تابش خورشید از بیشترین مقدارش در وسط روز به مقدار صفر در غروب آفتاب کاهش می‌یابد. یخبدان‌های فرارفتی زمانی رخ می‌دهند که هوای سرد به منطقه‌ای وزیده شود و جانشین هوای گرم‌تری شود که قبلاً از این تغییر حضور داشت. این نوع یخبدان با شرایط ابری، باد قوی یا متوسط، نبود وارونگی دمایی و رطوبت کم همراهی می‌شود و غالباً دمایها به زیر نقطه ذوب افت می‌کنند. دو مورد از بدترین یخبدان‌های فرارفتی در سال‌های ۱۹۹۰ و ۱۹۹۸ در لیندکو کالیفرنیا در مناطق عمده کشت مرکبات رخ داد. مسئله قابل توجه در حوادث مذکور این بود که با نزدیک شدن هوای سرد به منطقه دماهای حداقل در روز به طور قابل ملاحظه‌ای کاهش نشان می‌داد (۱۰).

معمولآً فرض می‌شود که آخرین یخبدان در بهار و اولین یخبدان در پاییز از نوع تابشی است. روزنبرگ و مایرز (۷) در مطالعه‌ای در نبراسکا دریافتند که ۷ تا ۳۰٪ از آخرین یخبدان‌های بهاره و ۱۷ تا ۴۲٪ از اولین یخبدان‌های پاییزه از نوع فرارفتی هستند. روزنبرگ و همکاران (۸) اشاره می‌کنند که به طور میانگین یخبدان‌های فرارفتی در بهار زودتر از یخبدان‌های تابشی و در پاییز دیرتر از یخبدان‌های تابشی رخ داده و دوره دوام این نوع یخبدان‌ها طولانی است. از آنجایی

زراعی ۸۱-۱۳۸۰ از کل اراضی بیمه شده گندم، ۱۸۸۶ هکتار از سرما خسارت دیده که مبلغ غرامت ۳۰۴/۲۷۸ میلیون ریال بوده است. مقدار غرامت برای خسارت ۶۳۹۶ هکتار از این محصول در استان قزوین ۰۹۱/۷۶۴ میلیون ریال در ۶ سال گزارش شده است.

در ایالات متحده آمریکا خسارت ناشی از عوامل جوی بیشترین ضرر اقتصادی را ایجاد می‌کند. برای نمونه به گفته آتاوای (۵) در دسامبر ۱۹۹۰ در کالیفرنیا یخبدان در حدود ۵۰۰ میلیون دلار به میوه و در حدود ۴۵۰۰۰۰ هکتار به درختان مرکبات خسارت وارد کرده است. در همین منطقه یخبدان در سال ۱۹۹۸ در حدود ۷۰۰ میلیون دلار خسارت وارد کرده است تیه فنبچر و همکاران (۱۰). به طور مشابه خسارت‌های زیادی به محصولات با غی حساس دیگری در سراسر دنیا گزارش شده است.

میانگین تاریخ‌های اولین دمای صفر درجه سلسیوس در پاییز و آخرین دمای صفر درجه سلسیوس در بهار به عنوان یک معیار معقول از رخداد یخبدان و تعریف طول فصل رشد در کشاورزی به کار می‌رود. اگر احتمالات یا چگونگی توزیع این تاریخ‌ها در اطراف میانگین تعیین گردد، استفاده از این داده‌ها مفیدتر خواهد شد. چنین جداولی به ویژه برای تخمین دوره بدون یخبدان برای محصول معین به کار می‌رود (۱۱).

تم و شاو (۹) نشان دادند که سری‌های تاریخ یخبدان که از دماهای کمینه هوا استخراج می‌گردد به صورت تصادفی توزیع یافته‌اند و از توزیع نرمال پیروی می‌کنند. سمعیعی و همکاران (۳) با بهره‌گیری از روش‌های آماری و با استفاده از داده‌های روزانه دمای کمینه ایستگاه‌های همدیدی جداول مربوط به تاریخ‌های شروع و خاتمه یخبدان‌های پاییزه و بهاره را در سطوح احتمال انتخابی و در ۱۲ آستانه بحرانی دما ارائه نموده‌اند. ترسیم نقشه‌های هم احتمال تاریخ رخداد اولین یخبدان پاییزه و آخرین یخبدان بهاره و طول دوره بدون یخبدان با به کارگیری توزیع نرمال در سطوح احتمالی انتخابی در سطح کشور توسط کمالی (۴) انجام شده است.

هوای سرد چنانچه از برودت کافی برخوردار نباشد سبب کاهش زیاد دما در زمان استقرار هوای سرد نمی‌شود ولی پس از عبور سامانه، تابش شبانه زمین سبب کاهش دمای کمینه به نقطه یخبندان می‌شود. تداوم روزانه این نوع یخبندان‌ها و تداوم ساعتی روزهای یخبندان بسیار کم است به‌طوری‌که امکان مبارزه با آن وجود دارد ولی چنانچه توده هوای هماجم از سرمای کافی برخوردار باشد کاهش دمای بیشینه و کمینه در زمان استقرار توده هوای سرد زیاد بوده و دمای کمینه به صفر و زیر صفر رسیده و یخبندان فرارفتی را ایجاد می‌کند.

یخبندان‌های تابشی نباید به عنوان یک خطر اجتناب ناپذیر برای کشاورزی پذیرفته شود. در مناطقی که هم فراوانی و هم شدت چنین یخبندان‌هایی محدود است با انجام عملیات مدیریتی مناسب روی خاک و گیاه، و در شرایط کاملاً سخت این نوع یخبندان‌ها با اعمال روش‌های فعل، امکان حذف و یا به حداقل رساندن خسارت وجود دارد (۱۳). از طرفی چون بسیاری از روش‌های محافظت در حضور وارونگی دمایی بهتر کار می‌کنند، محافظت علیه دمایی زیر صفر در شرایط بادی و بدون وارونگی دمایی مشکل است. از این رو در یخبندان‌های فرارفتی، هیچ‌کدام از روش‌های مبارزه، محافظت مؤثری را ایجاد نمی‌کنند.

روزنبرگ و مایرز (۷) دریافتند که برای مقاصد کشاورزی دانستن نوع یخبندان مفیدتر از دانستن میانگین تاریخ‌های رخداد دمای کمینه ویژه می‌باشد. نامبرده‌گان تاریخ‌های رخداد اولین یخبندان پاییزه و آخرین یخبندان بهاره مربوط به دمای آستانه صفر درجه سلسیوس را در دره پلت در ایالت نبراسکا روی آمار ۳۰ ساله مورد مطالعه قرار دادند و پس از تعیین نوع یخبندان مشخص گردید که سری‌های آماری اولین و آخرین یخبندان فرارفتی تصادفی بوده و به صورت نرمال توزیع یافته‌اند. در بررسی حاضر ماهیت اولین یخبندان پاییزه و آخرین یخبندان بهاره با به‌کارگیری گزارشات روزانه جوی همراه با تحلیل نقشه‌های همدیدی تشخیص داده شد و با استفاده از اطلاعات حاصله طول فصل رشد بالقوه تعریف گردید. با تعیین

که این نوع یخبندان‌ها همراه با وزش باد قوی می‌باشد، فنون علمی جهت استفاده علیه آن‌ها محدود بوده و اکثر روش‌های محافظت از یخبندان، برای یخبندان‌های تابشی عملی و مؤثر است. برای (۱) در بررسی علل اصلی یخبندان‌های بهاره ایران نشان داد که اکثر یخبندان‌های بهاره از نوع فرارفتی بوده و با یک سیستم کم فشار همراه است. در این بررسی نشان داده شد که در غالب یخبندان‌های بهاره شدید و فراغیر امتداد خط ناوه با جهت شمال شرقی جنوب غربی روی آذربایجان قراردارد و این الگو سبب ریزش هوای سرد در پشت ناوه از عرض‌های شمالی‌تر می‌شود.

بررسی‌های همدیدی نشان می‌دهد که در اوایل فصل پاییز به‌دلیل انتقال پرفشارهای سیبری در شمال شرق مناطق مورد مطالعه و پرفشارهای اروپای مرکزی و شمالی به نواحی شمال غربی ایران، دمای هوا در نواحی تحت مطالعه کاهش یافته و معمولاً این کاهش دما به میزانی نیست که دمای کمینه به صفر بررسد ولی در برخی از موارد پس از عبور این سامانه‌ها تابش شبانه از زمین سرددتر، سبب کاهش دما به صفر و زیر صفر شده و یخبندان تابشی رخ می‌دهد (۲). این نوع یخبندان‌ها طولانی نبوده و معمولاً در طی یک شبانه روز از ۲ تا ۳ ساعت تجاوز نمی‌کند. به‌دلیل انحراف کم دمای کمینه نسبت به صفر درجه سلسیوس و تداوم کوتاه، مبارزه با این نوع یخبندان‌ها آسان‌تر است. در اواسط پاییز با ورود سامانه‌های تشکیل شده در نواحی شمالی، فرارفت هوای سرد سبب کاهش دمای حداکثر شده و در زمان استقرار توده هوای سرد، دمای کمینه به صفر و زیر صفر می‌رسد که به‌دلیل تداوم و دمای کمتر در این نوع یخبندان‌ها مبارزه با آنها مشکل بوده و معمولاً از آن صرف نظر می‌شود.

یخبندان‌های بهاره نیز شرایط مشابهی با یخبندان‌های پاییزه دارند، بدین معنی که در این فصل پرفشارهای اروپای شمالی و مرکزی، معمولاً از طریق جمهوری آذربایجان و یا از سوی کرانه‌های دریای خزر و با تقویت پرفشار سیبری، سبب انتقال هوای سرد نسبی به مناطق تحت مطالعه می‌شود. این فرارفت

فرارفتی است یا تابشی. این بررسی برای هر ایستگاه و در هر سال از اولین روزی که در پاییز دمای صفر درجه سلسیوس مشاهده گردید اجرا شد تا تاریخ اولین یخنдан فرارفتی تعیین گردد. در بهار نیز برای تعیین آخرین یخندان فرارفتی به همین ترتیب عمل شد. سپس برای اطمینان از فرارفتی بودن یخنдан، نقشه‌های همدیدی مربوط به رخداد فرارفت هوای سرد از روزهای قبل تا بعد از تأثیرگذاری سرمای فرارفتی مورد بررسی قرار گرفت. در این ارتباط نقشه‌های همدیدی سطح زمین و تراز 85° هکتوپاسکال در هر روز در ساعت 1200 UTC و 0000 UTC بررسی شد و سامانه‌های جوی ایجاد کننده فرارفت و گستردگی ناحیه تحت تأثیر مورد شناسایی قرار گرفت (سازمان هواشناسی کشور). از آنجایی که ارتفاع متوسط کشور از 1000 متر بیشتر است، برای بررسی بیشتر فرارفت هوای سرد و تأثیر آن در روی سطح زمین تحلیل نقشه‌های تراز 85° هکتوپاسکال مناسب‌تر از ترازهای دیگر است. الگوی جریان در این سطح ترازی در ارتباط با حرکت سامانه‌ها در سطوح پایین‌تر بوده و مقدار دما در ارتباط با دمای سطح زمین است. به هر حال تقریباً در کلیه موارد فرارفت هوای سرد به منطقه قبل از رخداد یخنдан‌های تابشی بروز می‌کنند. تفکیک این دو نوع یخندان با تشخیص این‌که فرارفت هوای سرد در دورن خودش قادر به کاهش دما به نقطه انجماد است یا حرکت هوا به اندازه‌ای ضعیف است که تشکیل وارونگی و یخنдан تابشی امکان‌پذیر می‌شود، انجام پذیرفت.

در این بررسی از یخندان‌هایی که سبب کاهش دمای کمینه در پناهگاه هواشناسی به صفر درجه سلسیوس یا کمتر شده است، بدون توجه به نوع آن «یخندان تابشی - فرارفتی» یاد می‌شود. چنانچه پس از بررسی مشخص شد که یخندان از نوع فرارفتی بوده، اصطلاح «یخندان فرارفتی» به کار می‌رود. اولین و آخرین یخندان‌هایی که به دلیل تابش رخ داده‌اند «یخندان تابشی» نامیده می‌شوند.

محاسبات آماری مربوط به این بررسی با استفاده از نرم افزار SPSS و Excel، تصادفی بودن سری‌های آغاز و خاتمه

تاریخ‌های آغاز و خاتمه سرمahuای فرارفتی در این بررسی، امکان مبارزه با یخنдан در نواحی مختلف قابل ارزیابی می‌شود.

مواد و روش‌ها

در این بررسی گزارش‌های آماری سه ایستگاه سینوپتیک زنجان، قزوین و تهران (مهرآباد) به کار گرفته شد (سازمان هواشناسی کشور) و دوره آماری به کار رفته از (۱۹۶۱-۱۹۶۲) تا (۱۹۹۹-۲۰۰۰) بوده است. با استفاده از دمای کمینه روزانه، تاریخ‌های عبور دمای صفر درجه سلسیوس در پاییز و بهار با اجرای یک برنامه کامپیوتری استخراج گردید. برای اجرای فرآیندهای آماری بر روی تاریخ‌های استخراج شده و دست یابی به تحلیل‌های دقیق لازم بود که تاریخ‌ها تبدیل به اعداد شوند. از این رو تمامی تاریخ‌ها با انتخاب مبدأ اول سپتامبر دارای ارزش کمی شدند. لازم به ذکر است که در هر سال ابتدا تاریخ شروع یخنдан استخراج شده و تاریخ خاتمه یخندان در سال میلادی بعدی قرار گرفته است. نظر به اهمیت رخداد یخندان‌های فرارفتی در این نواحی، تعیین تاریخ آغاز یخندان‌های فرارفتی در پاییز و تاریخ پایان آنها در بهار و به‌طور کلی تفکیک این دو نوع یخندان از یکدیگر اهمیت ویژه‌ای دارد.

یخندان‌های فرارفتی و انتقال توده‌ها از ناحیه‌ای به ناحیه دیگر با تغییرات بارز فراسنجهای جوی به‌ویژه دمای بیشینه و کمینه همراه است به‌طوری‌که در بیشتر موارد تغییری در حدود 10 درجه سلسیوس و گاهی بیشتر ایجاد می‌شود و سبب ریزش هوای سرد با چگالی زیاد شده و در نتیجه پر فشار در روی منطقه تشکیل می‌شود، براین اساس برای تشخیص یخندان‌هایی که عمدتاً به دلیل فرارفت رخ داده‌اند از یخندان‌هایی که در اثر تابش ایجاد شده‌اند، دفاتر ثبت گزارش‌های همدیدی هر روزی که ایستگاه‌ها در اختیار قرار گرفت. در این مرحله هر روزی که دمای حداقل صفر درجه سلسیوس و یا کمتر گزارش گردیده بود، تغییرات کلیه پارامترهای جوی در ساعت دیدبانی، از روزهای قبل و بعد از روزی که یخندان رخ داده مورد بررسی قرار گرفت تا مشخص گردد که یخندان رخداده از نوع

یک سامانه جوی بوده است.

۲. میانگین تاریخ‌های رخداد انواع مختلف یخبندان تفکیک یخبندان‌های فرارفتی و تابشی در هر ۳ ایستگاه زنجان، قزوین و تهران در طول دوره آماری صورت پذیرفت و سری‌های تاریخ اولین و آخرین یخبندان فرارفتی به دست آمد. برای تشخیص یخبندان‌های فرارفتی گرچه نقشه‌های همیدی در سطح زمین و تراز 85° هکتوپاسکال در ساعت ۱۲۰۰ UTC و 0000 UTC مورد بررسی قرار گرفته است ولی برای اطلاع از چگونگی وضعیت نقشه‌ها در نمونه‌ای از رخداد یخبندان فرارفتی، به دلیل اختناب از اشغال حجم زیاد، صرفاً به ارائه نقشه‌های همیدی در تراز 85° هکتوپاسکال در شکل‌های ۱ تا ۳ بسته می‌شود. برای نمونه آغاز یخبندان فرارفتی در تاریخ ۱۰ نوامبر ۱۹۹۶ در زنجان رخداده است. خلاصه‌ای از تحلیل نقشه‌های تراز 85° هکتوپاسکال به همراه تغییرات کمیت‌های جوی از تاریخ ۹ تا ۱۰ نوامبر ۱۹۹۶ در زنجان برای نمونه آورده می‌شود.

در نقشه روز ۹ نوامبر ساعت UTC ۱۲۰۰ (شکل ۱) مرکز ارتفاع کمی بر روی شرق ایران با کنتور مرکزی 150° ژئوپتانسیل متر و مرکز ارتفاع زیادی با کنتور مرکزی 156° ژئوپتانسیل متر بر روی جنوب شرق مدیترانه دیده می‌شود. به دلیل وجود گرادیان دمایی قابل ملاحظه و زاویه بین کنتورها و خطوط هم‌دما، گردش هوا به طور چرخندی و واچرخندی حول این دو مرکز، هوای سرد را بر روی استان‌های تهران، قزوین و زنجان فراهم کرده است. در این شکل خطوط هم‌دما 284° و 286° درجه کلوین به ترتیب از استان‌های قزوین و زنجان عبور کرده است.

در نقشه روز ۱۰ نوامبر ساعت UTC 0000 (شکل ۲) مرکز ارتفاع کم به ناحیه جنوب شرق ایران کشیده شده و مرکز ارتفاع زیاد ضمن باز شدن در شرق دریای مدیترانه گسترش یافته است. در این شکل خط هم‌دما 278° درجه کلوین ضمن عبور از استان‌های تهران، قزوین و زنجان در شرق زاگرس بسته شده

یخبندان‌های فرارفتی با آزمون گردش حول میانه (Run test) و نرم‌البودن این سری‌ها با استفاده از آزمون کلموگروف - اسمیرنوف (KS) انجام پذیرفت.

نتایج و بحث

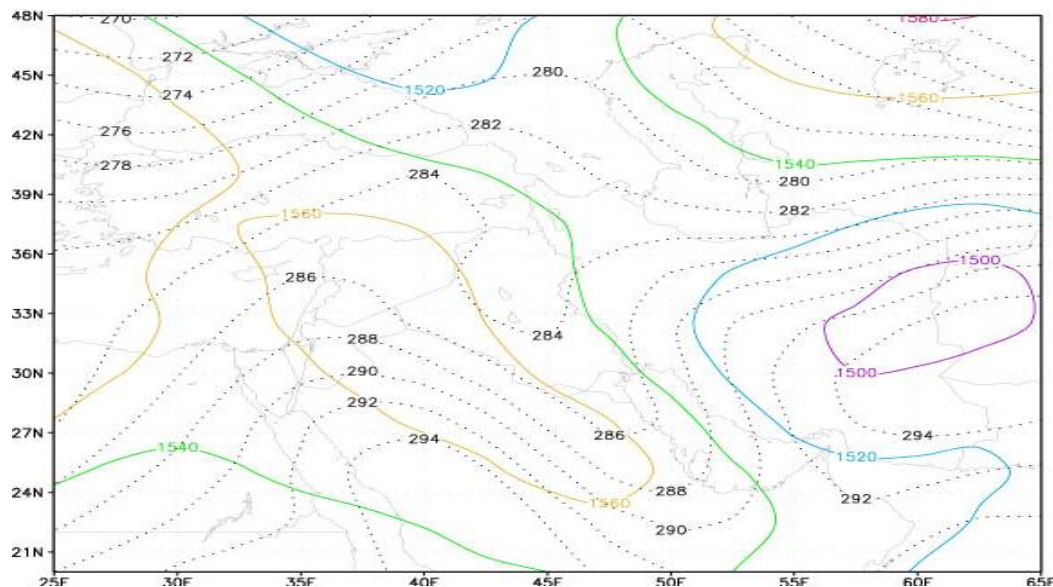
۱. درصد رخداد اولین و آخرین یخبندان از انواع تابشی و فرارفتی

درصد رخداد اولین یخبندان‌های پاییزه و آخرین یخبندان‌های بهاره بر حسب نوع یخبندان در جدول ۱ ارائه گردیده است. بررسی این جدول نشان می‌دهد که در طول دوره آماری مورد مطالعه در زنجان 31° درصد از یخبندان‌ها در پاییز با فرارفت هوای سرد آغاز می‌شود. در قزوین این رقم $32/5^{\circ}$ درصد و در تهران $71/8^{\circ}$ درصد است. به نظر می‌رسد نواحی زنجان و قزوین اکثر اوقات تحت تأثیر یک سامانه جوی قرار می‌گیرند به طوری که در بررسی سال به سال نشان داده شد که در حدود 44% از سال‌هایی که یخبندان در زنجان با فرارفت هوای سرد آغاز می‌شود در قزوین نیز هم‌زمان ویا با فاصله حداقل دو روز یخبندان فرارفتی آغاز گردیده است. این امر بیانگر آن است که 56% از سرماه‌های فرارفتی تأثیرگذار بر زنجان در اوایل فصل سرد بر قزوین مؤثر نبوده و قادر به کاهش دما به صفر و کمتر در این ناحیه نمی‌باشد گرچه کاهش محسوس دمای بیشینه و کمینه واقع شده باشد. این شباهت در نواحی قزوین و تهران 36% بوده است.

بررسی ارقام مربوط به خاتمه یخبندان‌ها گویای آن است که در زنجان و قزوین به ترتیب 33° درصد و 30° درصد از موقع یخبندان‌ها با فرارفت هوای سرد خاتمه می‌یابد از این رو در خاتمه یخبندان‌ها نیز تابش نقش اصلی دارد در صورتی که در تهران $69/2^{\circ}$ درصد از موقع خاتمه یخبندان به دلیل فرارفت هوای سرد بوده است. بررسی‌های تفضیلی تر نشان می‌دهد که در 31% از سال‌ها رخداد آخرین یخبندان در نواحی زنجان و قزوین تحت تأثیر یک سامانه جوی بوده‌اند در حالی که در قزوین و تهران در 41% از سال‌ها خاتمه یخبندان تحت تأثیر

جدول ۱. درصد توزیع انواع یخ‌بندان‌های پاییزه و بهاره

نام ایستگاه	آغاز یخ‌بندان	خاتمه یخ‌بندان	تابشی (%)	فرارفتی (%)	تابشی (%)
		فرافتی (%)	(%)	تابشی (%)	(%)
زنجان		۳۳	۶۷	۳۱	۶۹
قزوین		۳۰	۷۰	۳۲/۵	۶۷/۵
تهران		۶۹/۲	۳۰/۸	۷۱/۸	۲۸/۲



یخبندان تابشی - فرارفتی و فرارفتی به ترتیب اول آبان و ۱۶ آبان است. تاریخ‌های مشابه در قزوین به ترتیب ۱۸ آبان و اول آذر بوده است. در حالی که در تهران این مقادیر به ترتیب ۱۵ آذر و ۱۸ آذر محاسبه گردیده‌اند. مقایسه این مقادیر نشان می‌دهد که در زنجان به‌طور میانگین ۱۵ روز قبل از رسیدن اولین یخبندان فرارفتی، یخبندان‌های تابشی به دفعات رخ می‌دهد. چنانچه امکان مبارزه با این یخبندان‌ها که بسیار ضعیف‌تر از یخبندان فرارفتی است میسر باشد می‌توان برداشت پاییزه را در زنجان ۱۵ روز و در قزوین 13° روز به تعویق انداخت. در صورتی که در تهران اکثرًا در پاییز یخبندان‌ها با فرارفت هوای سرد آغاز گشته و به‌طور میانگین افزایش فصل رشد پاییزه فقط ۳ روز امکان‌پذیر است. بررسی تاریخ میانگین رخداد خاتمه یخبندان در زنجان بیانگر آن است که یخبندان‌های فرارفتی در این ناحیه در 20° فروردین خاتمه می‌یابد در حالی که یخبندان‌های تابشی - فرارفتی تا اول اردیبهشت ادامه دارند. در قزوین خاتمه یخبندان‌های تابشی - فرارفتی در 15° فروردین و خاتمه یخبندان‌های فرارفتی در تاریخ ۲۶ مارس 6° فروردین رخ می‌دهد. تاریخ مشابه در تهران به ترتیب در 27° اسفند و 22° اسفند است. تفاضل تاریخ رخداد آخرین یخبندان فرارفتی از یخبندان تابشی - فرارفتی طولانی شدن فصل رشد در بهار را نشان می‌دهد. یعنی در صورت مبارزه با یخبندان‌های تابشی می‌توان کشت بهاره را در زنجان 13° روز، در قزوین 9° روز و در تهران 5° روز زودتر آغاز کرد.

۳. میانگین طول دوره رویش

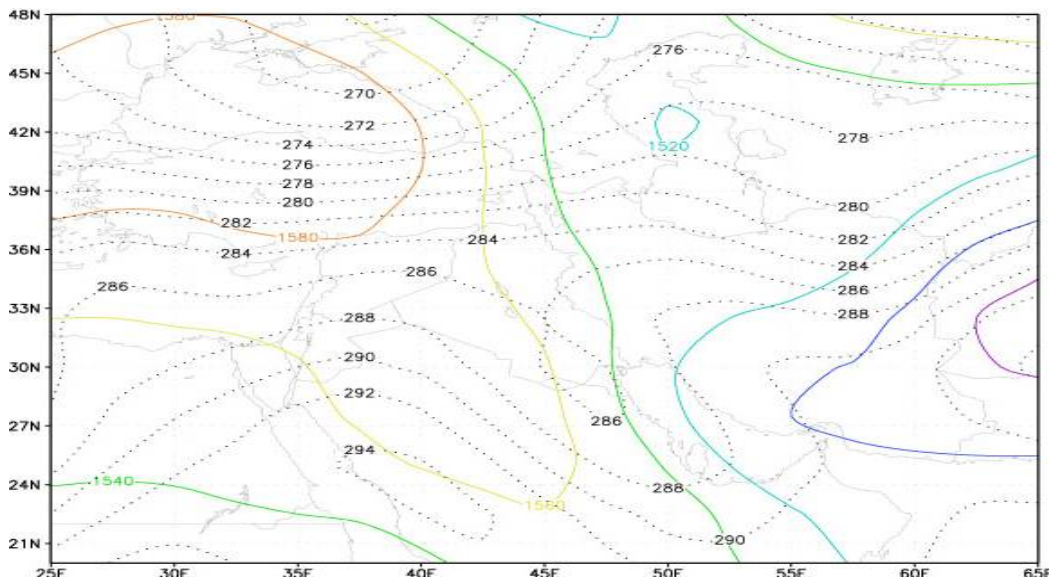
طول دوره بدون یخبندان به فاصله بین آخرین رخداد دمای صفر درجه در بهار و اولین رخداد دمای صفر درجه در پاییز گفته می‌شود. در این تعریف نوع یخبندان مورد نظر نبوده از این رو به صورت طول دوره رویش (تابشی - فرارفتی) تعریف می‌شود. از طرفی فاصله بین آخرین یخبندان فرارفتی در بهار و اولین یخبندان فرارفتی در پاییز را طول دوره رویش بالقوه می‌نامیم زیرا چنانچه بتوان با یخبندان‌های تابشی که بعد از

است. بررسی این دو شکل نشان می‌دهد که دمای هوا در منطقه مورد مطالعه 6° تا 10° درجه نسبت به 12° ساعت قبل کاهش یافته است. بررسی ساعتی دما در سطح زمین نیز گویای آن است که دمای بیشینه در روز نهم نسبت به روز قبل 7° درجه کاهش داشته و از ساعت UTC 1930 روز ۹ نوامبر تا ساعت UTC 0430 روز ۱۰ نوامبر دمای ایستگاه زنجان زیر صفر بوده است. در این مدت باد غالب غربی با سرعت ۵ متر بر ثانیه گزارش شده است.

در نقشه روز ۱۰ نوامبر ساعت UTC 1200 (شکل ۳) خط هم دمای 28° درجه کلوین از استان‌های تهران، قزوین و زنجان عبور می‌نماید ولی فرارفت هوای سرد به‌دلیل وجود گرادیان ضعیف کنتوری در ناحیه کاملاً کاهش یافته و به نواحی شمال شرق و شرق کشور کشیده شده است. دمای کمینه در ایستگاه زنجان در روزهای 9° و 10° نوامبر به ترتیب 1° و -3° درجه سلسیوس گزارش شده است.

در جدول ۲ میانگین تاریخ‌های رخداد اولین دمای صفر درجه یا یخبندان تابشی - فرارفتی، اولین یخبندان تابشی و اولین یخبندان فرارفتی و اطلاعات نظیر برای فصل بهار نشان داده شده است. به‌طوری که نشان داده شده، به کارگیری معیار هواشناسی "یخبندان فرارفتی" میانگین‌های متفاوتی برای سری جدید یخبندان ارائه نموده است. میانگین تاریخ رخداد آخرین یخبندان تابشی در زنجان 7° اردیبهشت است که 18° روز بعد از آخرین یخبندان فرارفتی رخ می‌دهد اما با میانگین رخداد یخبندان تابشی - فرارفتی فاصله کمتری دارد. نزدیک بودن این دو میانگین بیانگر این حقیقت است گه در اکثر سال‌ها آخرین یخبندان در این ناحیه از نوع تابشی است. آخرین یخبندان تابشی در قزوین 11° روز بعد از آخرین یخبندان فرارفتی رخ می‌دهد. این مقدار در مورد تهران 9° روز محاسبه گردیده است. آخرین یخبندان تابشی - فرارفتی در بهار در زنجان اول اردیبهشت، در قزوین 15° فروردین و در تهران در 27° اسفند رخ می‌دهد.

نتایج نشان می‌دهد که در زنجان میانگین تاریخ آغاز



شکل ۳. نقشه همدیدی روز ۱۰ نوامبر ۱۹۹۶ ساعت ۱۲۰۰ UTC در تراز ۸۵۰ هکتوپاسکال

جدول ۲. میانگین تاریخ‌های آغاز و خاتمه انواع مختلف یخ‌بندان پاییزه و بهاره

نام محل	انواع یخ‌بندان‌های پاییزه						نام محل	
	انواع یخ‌بندان‌های بهاره			انواع یخ‌بندان‌های پاییزه				
	فرارفتی انحراف معیار	تابشی انحراف معیار	تابشی فرارفتی انحراف معیار	فرارفتی انحراف معیار	تابشی انحراف معیار	تابشی فرارفتی انحراف معیار		
زنجان	۲۲۰/۵	۲۳۹/۴	۲۳۴/۱	۶۸/۴	۴۹/۹	۵۲/۵		
۱۱/۹	۹ آوریل	۱۲	۱۴/۱	۱۳/۴	۷ نوامبر	۱۳/۸	۱۳/۸	
	۲۰ فروردین	۷ اردیبهشت	اول اردیبهشت	۱۶ آبان	۱۶	۲۰ اکتبر	۲۳ اکتبر	
۱۰/۷	۲۰۶/۵	۲۱۸/۱	۲۱۶	۸۲/۳	۶۷/۲	۶۹/۷		
	۲۶ مارس	۱۱/۶	۶ آوریل	۱۳/۷	۲۲ نوامبر	۶ نوامبر	۹ نوامبر	
	۶ فروردین	۱۷	۱۵ فروردین	۱۷ آذر	۱۷/۶	۱۵ آبان	۱۸ آبان	
قزوین	۱۹۳/۸	۲۰۲/۵	۱۹۸/۷	۱۰۰,۵	۸۹/۷	۹۶/۹		
	۱۳ مارس	۱۸/۱	۱۴/۷	۱۶,۵	۹ دسامبر	۱۹ دسامبر	۶ دسامبر	
	۲۲ اسفند	۲ فروردین	۲۷ اسفند	۱۸ آذر	۲۹ نوامبر	۱۹ آذر	۱۵ آذر	
تهران								

۴. تعداد یخ‌بندان‌های پاییزه و بهاره

استفاده کاربردی از اطلاعات ارائه گردیده، به تعداد یخ‌بندان‌های تابشی که در خلال دوره بین آخرین یخ‌بندان تابشی بهاره تا آخرین یخ‌بندان فرارفتی و اولین یخ‌بندان تابشی پاییزه تا اولین یخ‌بندان فرارفتی پاییزه رخ می‌دهد بستگی دارد. تعداد این یخ‌بندان‌ها و دامنه تغییرات آنها در جدول ۴ ارائه

آخرین یخ‌بندان فرارفتی در بهار و یا قبل از اولین یخ‌بندان فرارفتی در پاییز رخ می‌دهد مبارزه کرد، طول دوره رویش به حد بالقوه می‌رسد. در جدول ۳ میانگین‌ها و انحراف معیار حاصل از این محاسبات نشان داده شده است. میانگین تعداد روزهای افزوده شده به طول دوره رشد در زنجان ۲۹ روز در قزوین ۲۳ روز و در تهران ۱۰ روز محاسبه گردیده است.

جدول ۳. میانگین تعداد روزهای بین آخرین یخبندان در بهار و اولین یخبندان در پاییز از انواع مختلف یخبندان

طول دوره رویش (روز)						نام محل	
تفاوت		فرارفتی		تابشی فرارفتی			
انحراف معیار	میانگین	انحراف معیار	میانگین	انحراف معیار	میانگین		
۱۸/۱	۲۸/۹	۱۷/۳	۲۱۳/۰	۱۹/۴	۱۸۴/۱	زنجان	
۱۹/۱	۲۳/۲	۱۰/۶	۲۴۱/۶	۱۸/۶	۲۱۸/۳	قزوین	
۱۴/۶	۹/۸	۲۱/۲	۲۷۱/۳	۲۱/۸	۲۶۱/۵	تهران	

جدول ۴. تعداد روزهای یخبندان در فاصله بین اولین یخبندان تابشی در پاییز یا آخرین یخبندان تابشی در بهار و یخبندان فرارفتی فصل مربوط

اولین یخبندان تابشی در پاییز تا اولین یخبندان آخرین یخبندان تابشی در بهار تا آخرین یخبندان فرارفتی				نام محل		
فرارفتی		تابشی				
مد	دامنه تغییرات	مد	دامنه تغییرات			
۱	۰-۱۰	۲/۴	۱	۰-۱۱	۳	زنجان
۱	۰-۵	۱/۳	۱	۰-۱۳	۱/۷	قزوین
۱	۰-۴	۰/۶	۲	۰-۴	۰/۷	تهران

می‌شود که در نواحی تحت بررسی یک شب مبارزه با یخبندان، چه میزان تطویل در فصل رشد را در بهار و پاییز به همراه دارد. برای پاسخ به این سئوال تعداد روزهای بدون یخبندان در فاصله دو یخبندان اول در پاییز و دو یخبندان آخر در بهار در کلیه سال‌ها شمارش شد. برای این منظور اگر اولین یخبندان پاییزه یا آخرین یخبندان بهاره به دلیل تابش باشد تعداد روزهای سپری شده تا یخبندان مجاور (از هر نوع که باشد) شمارش شد و در مواردی که اولین یخبندان پاییزه یا آخرین یخبندان بهاره از نوع فرارفتی بود با صفر علامت‌گذاری گردید. نتایج این بررسی در جدول ۵ نشان داده شده است.

در جدول ۵ میانگین (الف) نمایانگر مقدار میانگین در کلیه سال‌ها و میانگین (ب) نشان دهنده مقدار میانگین در سال‌هایی است که اولین یخبندان یا آخرین یخبندان از نوع فرارفتی می‌باشد. امکان طولانی شدن فصل رشد بهاره با یک شب محافظت از یخبندان با روش اول، در زنجان ۴ روز و در قزوین ۶ روز است.

گردیده است. رقم مربوط به مد این یخبندان‌ها، به استثنای سال‌هایی که آخرین یخبندان بهاره یا اولین یخبندان پاییزه از نوع فرارفتی بوده است نیز در جدول (۴) رایه گردیده است. رقم مد یخبندان‌های تابشی بعد از آخرین یخبندان فرارفتی در بهار و قبل از اولین یخبندان فرارفتی در پاییز حتی وقتی که سال‌های صفر (سال‌هایی که اولین یخبندان در پاییز و آخرین یخبندان در بهار به دلیل فرارفت باشد) لحاظ نشود، کاملاً پایین است.

به طوری که ملاحظه می‌شود رقم میانگین یخبندان‌های تابشی در خلال پاییز و بهار در زنجان بزرگ‌تر و هم‌چنین دامنه تغییرات یخبندان‌های تابشی نیز در این ناحیه بزرگ‌تر است. بالا بودن دامنه تغییرات در قزوین استثنایی بوده که مربوط به فصل پاییز سال ۱۹۶۶ می‌شود که یخبندان‌های تابشی به صورت مکرر رخ داده است.

در صورت امکان مبارزه با یخبندان این سئوال مطرح

جدول ۵. پارامترهای آماری سری‌های تاریخ آغاز و خاتمه یخبندان

فصل بهار		فصل پاییز		نام محل
میانگین (ب)	میانگین (الف)	میانگین (ب)	میانگین (الف)	
۶/۵	۴/۳	۹/۸	۶/۸	زنجان
۹/۳	۶/۲	۱۰/۴	۶/۴	قزوین
۱۲/۱	۳/۷	۶/۵	۱/۹	تهران

جدول ۶. تعداد روزهای بین دو یخبندان اول در پاییز و دو یخبندان آخر در بهار

تاریخ خاتمه یخبندان فرارفتی			تاریخ آغاز یخبندان فرارفتی			میانگین
تهران	قزوین	زنجان	تهران	قزوین	زنجان	
۱۹۳/۸	۲۰۶/۵	۲۲۰/۵	۱۰۰/۵	۸۳/۳	۶۸/۴	انحراف میکار
۱۴/۸	۱۰/۷	۱۱/۹	۱۶/۵	۱۳/۷	۱۳/۴	چولگی
۰/۶۲	۰/۲	۰/۳	۰/۶۳	۰/۰	۰/۰	پخی
۰/۱۴	-۰/۳	-۰/۱	۱/۱۲	-۰/۷	-۰/۴	زودترین
۱۵۸	۱۸۲	۱۹۶	۶۸	۵۴	۴۱	دیرترین
۲۱۵	۲۳۳	۲۳۷	۱۵۱	۱۱۰	۹۴	

۵. تاریخ‌های آغاز و خاتمه یخبندان فرارفتی در سطح احتمالی مختلف

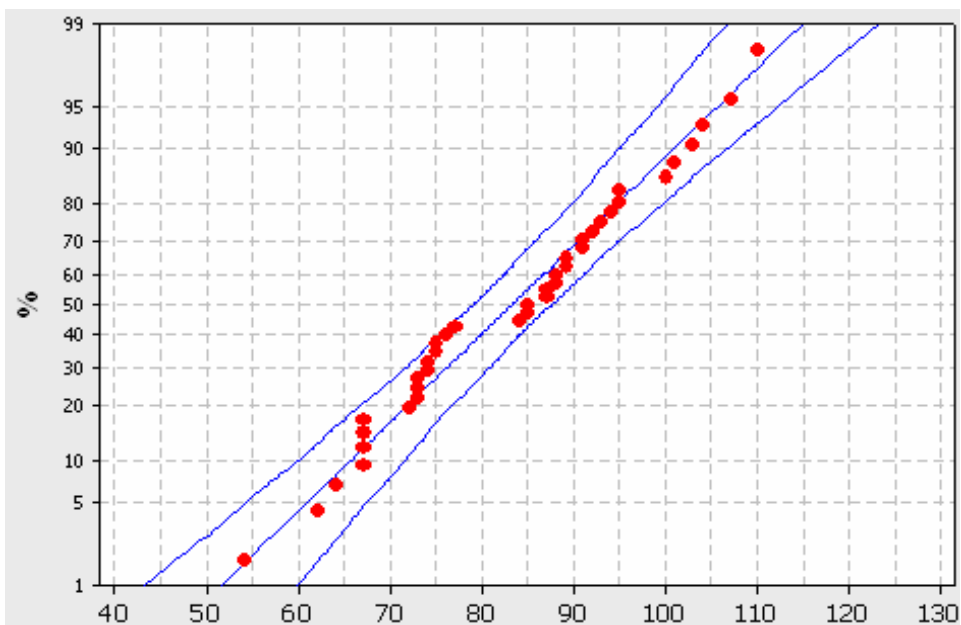
در جدول ۶ آماره‌های مربوط به سری‌های تاریخ آغاز و خاتمه یخبندان فرارفتی ارائه شده است. علی‌رغم توصیه منابع علمی از جمله سازمان هواشناسی جهانی (۱۲) که بهترین توزیع فراوانی را برای تاریخ‌های شروع و خاتمه یخبندان توزیع نرمال پیشنهاد نموده است و هم‌چنین روزنبرگ (۷) که نشان داد سری‌های تاریخ‌های شروع و خاتمه یخبندان‌های فرارفتی تصادفی بوده و با توزیع نرمال برآذش خوبی دارند، نیکویی برآذش توزیع نرمال به سری‌های تاریخ‌های شروع و خاتمه یخبندان‌های فرارفتی با آزمون KS انجام شد و فرض نرمال بودن در سطح معناداری $\alpha = 0.05$ پذیرفته شد. برای اطمینان از نیکویی برآذش توزیع نرمال به سری داده‌ها از روش ترسیمی کاغذ نرمال نیز استفاده گردید. شکل ۴ برای نمونه، برآذش داده‌های سری تاریخ آغاز یخبندان فرارفتی در قزوین را به

چنان‌که محاسبه میانگین با روش دوم باشد، که تصویر واقعی تری از منافع بالقوه در محافظت از سرمادگی را به دست می‌دهد، در زنجان ۷ روز و در قزوین ۹ روز است. از آنجایی که در زنجان و قزوین پدیده تابش بیشترین سهم را در آغاز و خاتمه یخبندان‌ها دارد، میانگین‌های نوع (الف) و (ب) فاصله زیادی با یکدیگر ندارند در حالی که این تفاوت در تهران که فرارفت سهم اصلی را در آغاز و خاتمه یخبندان‌ها دارد بسیار چشمگیر است. از این رو در ناحیه تهران چنانچه میانگین (الف) را منظور کنیم با یک شب مبارزه ۲ روز و ۴ روز به ترتیب به رشد پاییزه و بهاره افزوده می‌شود. در حالی که با مستثنی کردن سال‌های صفر این افزایش در پاییز به ۷ روز و در بهار به ۱۲ روز می‌رسد. در اینجا ذکر این نکته ضروری است که سرمایه‌گذاری برای اعمال روش‌های مبارزه با یخبندان در مناطقی که فرارفت سهم اصلی را در آغاز و خاتمه یخبندان‌ها دارد باید با احتیاط انجام شود.

جدول ۷. تاریخ‌های آغاز و خاتمه یخبندان فرارفتی با احتمالات مختلف در ایستگاه‌های

همدیدی زنجان، قزوین و تهران در دوره آماری (۱۹۶۱-۲۰۰۰)

احتمالات	تاریخ خاتمه یخبندان			تاریخ آغاز یخبندان		
	%۷۵	%۵۰	%۲۵	%۷۵	%۵۰	%۲۵
زنجان	۲۸ فروردین	۲۰ فروردین	۱۲ فروردین	۲۵ آبان	۱۵ آبان	۷ آبان
قزوین	۱۳ فروردین	۶ فروردین	۲۷ اسفند	۱۱ آذر	۱ آذر	۲۲ آبان
تهران	۳ فروردین	۲۲ اسفند	۱۱ اسفند	۲۹ آذر	۱۶ آذر	۶ آذر



شکل ۴. برآورد توزیع نرمال به همراه خطوط تراز ۹۵٪ اعتماد برای سری تاریخ آغاز یخبندان فرارفتی در قزوین

۲۵ درصد، در پاییز تاریخ‌های منطبق با احتمال ۲۵٪ مناسب است زیرا فقط ۲۵ درصد احتمال دارد که یخبندان‌های فرارفتی قبل از تاریخ منطبق با این احتمال شروع شوند. برای انجام عملیات کشاورزی بهاره تاریخ‌های منطبق با احتمال ۷۵٪ مناسب است زیرا فقط ۲۵ درصد احتمال دارد که یخبندان‌های فرارفتی بعد از تاریخ منطبق با این احتمال خاتمه یابند. برای مثال مناسب‌ترین تاریخ آغاز عملیات کشاورزی در بهار، در زنجان از ۲۸ فروردین، در قزوین ۱۳ فروردین و در تهران از ۳

توزیع نرمال به همراه تراز ۹۵٪ اعتماد نشان می‌دهد. در جدول ۷ احتمالات ۷۵٪، ۵۰٪ و ۲۵٪ درصد برای تاریخ‌های آغاز و خاتمه یخبندان‌های فرارفتی در دوره آماری (۱۹۶۱-۲۰۰۰) محاسبه شده است. چنانچه بتوان خسارت ناشی از یخبندان‌های تابشی را برطرف و یا از آنها چشم‌پوشی کرد، تاریخ مناسب برای عملیات کشاورزی در پاییز و بهار برای دشت‌هایی که در جوار ایستگاه‌های مورد مطالعه می‌باشند قابل استخراج است. برای انجام عملیات کشاورزی با قبول رسیک

هواشناسی و با مشاوره استاد محترم جناب آقای دکتر هوشنگ قائمی اجرا گردیده، استخراج شده است. بدین وسیله از راهنمایی‌های بی‌دریغ ایشان تشکر و قدردانی می‌شود.

فروردين است. در اين ارتباط مناسب است اجرای عملیات برداشت پاییزه در زنجان تا ۷ آبان، در قزوین ۲۲ آبان و در تهران تا ۶ آذر خاتمه يابد.

سپاسگزاری

این مقاله از نتایج یک پژوهه تحقیقاتی که در پژوهشکده

منابع مورد استفاده

۱. براتی، غ. ۱۳۷۵. طراحی و پیش‌بینی الگوهای سینوپتیکی یخ‌بندان‌های بهاره در ایران. رساله دکتری اقلیم‌شناسی، گروه جغرافیا، دانشگاه تربیت مدرس، تهران.
۲. پژوهشکده هواشناسی. ۱۳۸۳. گزارش کاهش ضایعات سرمازدگی بر محصولات کشاورزی استان‌های آذربایجان غربی و شرقی.
۳. سمیعی، م.، م. عسگری و خ. باستانی. ۱۳۶۷. شروع و خاتمه یخ‌بندان در ایران. سازمان هواشناسی کشور، تهران.
۴. کمالی، غ. ۱۳۸۰. بررسی سرماهای زیانبخش به کشاورزی ایران و تهیه اطلس اقلیمی آن. گزارش نهایی طرح پژوهشی، سازمان هواشناسی کشور، تهران.
5. Attaway, J.A. 1997. A history of Florida Citrus Freezes. Lake Alfred, Florida Science Source Inc., Florida.
6. Kalma, J.D., G.P. Laughlin, J.M. Caprio and P.J.C. Hamer. 1992. Advances in Bioclimatology, 2. The Bio climatology of Frost. Springer-Verlag Pub., Berlin.
7. Rosenberg, N. J. and R. E. Myers. 1962. The nature of growing season frosts in and along the Platte valley of Nebraska, Monthly Weather Rev. 90: 471-476.
8. Rosenberg, N.J., B.L. Blad and S.B. Verma. 1983. Microclimate the Biological Environment. John Wiley and Sons Pub., New York.
9. Thom, H. C. S. and R. H. Shaw. 1958. Climatological analysis of freeze data for Iowa. Monthly Weather Rev. 86: 251-257.
10. Tiefenbacher, J.P., R.R. Hagelman and R.J. Secora. 2000. California citrus freeze of December 1998: Place, Perception and Choice - Developing a Disaster Reconstruction Model. Boulder, Colorado: Natural Hazards Research and Applications Information Center, University of Colorado. Quick Response Research Report #125. 31p.
11. WMO, 1981. Guide to agricultural meteorological practices. WMO-No.134, Geneva.
12. WMO, 1987. Guide to Climatological Practices. WMO-No.100, Geneva.
13. WMO, 2001. Lecture notes for training agricultural meteorological personnel. WMO- No. 551, Geneva.